

**ECOLE NATIONALE DE L'AVIATION CIVILE**

**Session 2007**

**CONCOURS DE RECRUTEMENT D'ELEVES INGENIEURS  
DU CONTROLE DE LA NAVIGATION AERIENNE**



***Epreuve optionnelle obligatoire de PHYSIQUE***

Durée : 4 heures

Coefficient : 3



Ce sujet comporte :

1 page de garde  
2 pages d'instructions pour remplir le QCM  
1 page d'avertissement  
8 pages de texte



**CALCULATRICE AUTORISEE**

## ÉPREUVE OPTIONNELLE OBLIGATOIRE DE PHYSIQUE

### A LIRE TRÈS ATTENTIVEMENT

L'épreuve « commune obligatoire de physique » de ce concours est un questionnaire à choix multiple qui sera corrigé automatiquement par une machine à lecture optique.

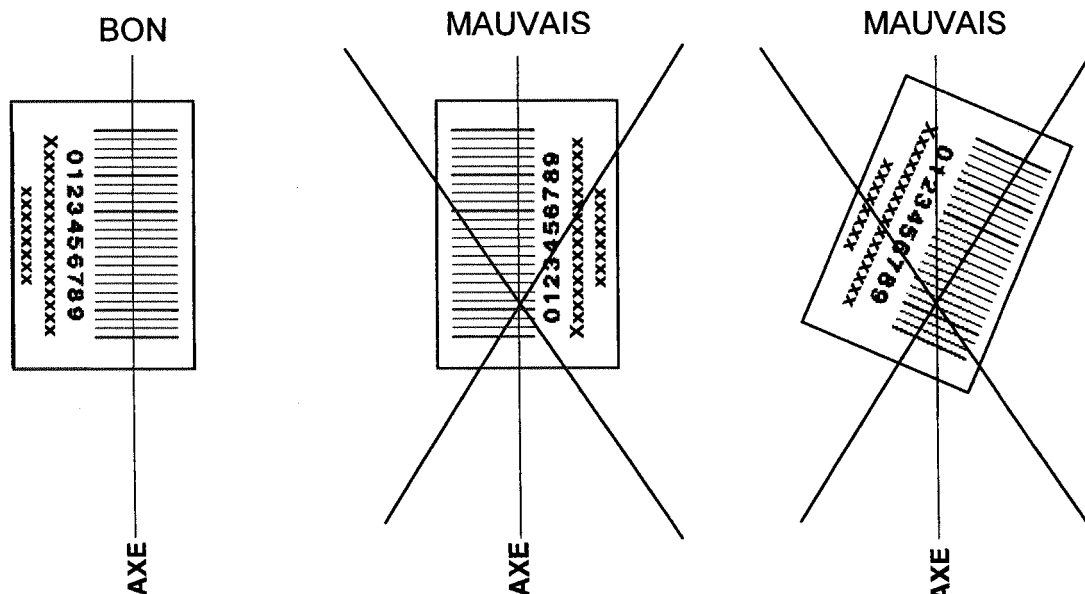
### ATTENTION, IL NE VOUS EST DÉLIVRÉ QU'UN SEUL QCM

- 1) Vous devez coller dans la partie droite prévue à cet effet, l'étiquette correspondant à l'épreuve que vous passez, c'est-à-dire épreuve commune obligatoire de physique (voir modèle ci-dessous).

### POSITIONNEMENT DES ÉTIQUETTES

Pour permettre la lecture optique de l'étiquette, le trait vertical matérialisant l'axe de lecture du code à barres (en haut à droite de votre QCM) doit traverser la totalité des barres de ce code.

EXEMPLES :



- 2) Pour remplir ce QCM, vous devez utiliser un STYLO BILLE ou une POINTE FEUTRE de couleur NOIRE.
- 3) Utilisez le sujet comme brouillon et ne retranscrivez vos réponses qu'après vous être relu soigneusement.
- 4) Votre QCM ne doit pas être souillé, froissé, plié, écorné ou porter des inscriptions superflues, sous peine d'être rejeté par la machine et de ne pas être corrigé.
- 5) Cette épreuve comporte 40 questions obligatoires, certaines, de numéros consécutifs, peuvent être liées. La liste de ces questions est donnée avant l'énoncé du sujet lui-même.  
**Chaque question comporte au plus deux réponses exactes.**

6) A chaque question numérotée entre 1 et 40, correspond sur la feuille-réponses une ligne de cases qui porte le même numéro (les lignes de 41 à 100 sont neutralisées). Chaque ligne comporte 5 cases a, b, c, d, e.

Pour chaque ligne numérotée de 01 à 40, vous vous trouvez en face de 4 possibilités :

- ▶ soit vous décidez de ne pas traiter cette question, la ligne correspondante doit rester vierge.
- ▶ soit vous jugez que la question comporte une seule bonne réponse : vous devez noircir l'une des cases a, b, c, d.
- ▶ soit vous jugez que la question comporte deux réponses exactes : vous devez noircir deux des cases a, b, c, d et deux seulement.
- ▶ soit vous jugez qu'aucune des réponses proposées a, b, c, d n'est bonne : vous devez alors noircir la case e.

**Attention, toute réponse fausse entraîne pour la question correspondante une pénalité dans la note.**

7) EXEMPLES DE RÉPONSES

Exemple I : Question 1 :

Pour une mole de gaz réel :

- a)  $\lim_{P \rightarrow 0}(PV) = RT$ , quelle que soit la nature du gaz.
- b)  $PV = RT$  quelles que soient les conditions de pression et température.
- c) Le rapport des chaleurs massiques dépend de l'atomicité.
- d) L'énergie interne ne dépend que de la température.

Exemple II : Question 2 :

Pour un conducteur ohmique de conductivité électrique  $\sigma$ , la forme locale de la loi d'OHM est :

- a)  $\vec{j} = \frac{\vec{E}}{\sigma}$
- b)  $\vec{j} = \sigma \vec{E}$
- c)  $\vec{E} = \sigma^2 \vec{j}$
- d)  $\vec{j} = \sigma^2 \vec{E}$

Exemple III : Question 3 :

- a) Le travail lors d'un cycle monotherme peut être négatif.
- b) Une pompe à chaleur prélève de la chaleur à une source chaude et en restitue à la source froide.
- c) Le rendement du cycle de CARNOT est  $1 + \frac{T_2}{T_1}$
- d) Le phénomène de diffusion moléculaire est un phénomène réversible.

Vous marquerez sur la feuille réponse :

1	<input checked="" type="checkbox"/> a	<input type="checkbox"/> b	<input checked="" type="checkbox"/> c	<input type="checkbox"/> d	<input type="checkbox"/> e
	<input type="checkbox"/>	<input type="checkbox"/>	<input type="checkbox"/>	<input type="checkbox"/>	<input type="checkbox"/>
2	<input type="checkbox"/> a	<input checked="" type="checkbox"/> b	<input type="checkbox"/> c	<input type="checkbox"/> d	<input type="checkbox"/> e
	<input type="checkbox"/>	<input type="checkbox"/>	<input type="checkbox"/>	<input type="checkbox"/>	<input type="checkbox"/>
3	<input type="checkbox"/> a	<input type="checkbox"/> b	<input type="checkbox"/> c	<input type="checkbox"/> d	<input checked="" type="checkbox"/> e
	<input type="checkbox"/>	<input type="checkbox"/>	<input type="checkbox"/>	<input type="checkbox"/>	<input type="checkbox"/>

## **AVERTISSEMENT**

**Dans certaines questions, les candidats doivent choisir entre plusieurs valeurs numériques. Nous attirons leur attention sur les points suivants :**

**1 – Les résultats sont arrondis en respectant les règles habituelles (il est prudent d'éviter les arrondis – ou des arrondis peu précis – sur les résultats intermédiaires).**

**2 – Les valeurs fausses qui sont proposées sont suffisamment différentes de la valeur exacte pour que d'éventuelles différences d'arrondi n'entraînent aucune ambiguïté sur la réponse.**

---

### **QUESTIONS LIEES**

[1, 2, 3, 4, 5, 6, 7]

[8, 9, 10, 11, 12, 13, 14]

[15, 16, 17, 18, 19, 20, 21]

[22, 23, 24, 25, 26, 27, 28]

[29, 30, 31, 32, 33, 34]

[35, 36, 37, 38, 39, 40]

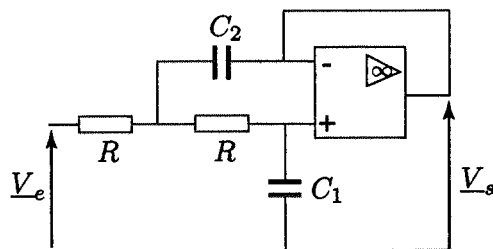
---

1. — Un amplificateur opérationnel idéal fonctionnant en régime linéaire est monté suivant le schéma de la figure ci-contre. L'amplitude complexe  $\underline{V}_s$  de la tension de sortie s'exprime en fonction de l'amplitude complexe  $\underline{V}_e$  de la tension d'entrée par la relation :

$$\underline{V}_s = \underline{V}_e G(\omega) \exp[i\varphi(\omega)]$$

où  $G(\omega)$  représente le module de la fonction de transfert du montage et  $\varphi(\omega)$  le déphasage de la tension de sortie par rapport à la tension d'entrée. On désigne respectivement par  $Y_1$  et  $Y_2$  les modules des admittances complexes des condensateurs de capacités  $C_1$  et  $C_2$ .

Exprimer  $G(\omega)$  en fonction de  $Y_1$ ,  $Y_2$  et de la résistance  $R$  de chacun des deux résistors.



A)  $G(\omega) = \frac{1}{[(1 + R^2 Y_1 Y_2)^2 - 4R^2 Y_1]^{\frac{1}{2}}}$

B)  $G(\omega) = \frac{1}{[(1 - R^2 Y_1^2)^2 + 4R^2 Y_1 Y_2]^{\frac{1}{2}}}$

C)  $G(\omega) = \frac{1}{[(1 + R^2 Y_1^2)^2 - 4R^2 Y_1 Y_2]^{\frac{1}{2}}}$

D)  $G(\omega) = \frac{1}{[(1 - R^2 Y_1 Y_2)^2 + 4R^2 Y_1^2]^{\frac{1}{2}}}$

2. — Exprimer  $\varphi(\omega)$ .

A)  $\varphi(\omega) = -\arctan \frac{2RY_1}{1 - R^2 Y_1 Y_2}$  pour  $R^2 Y_1 Y_2 \leq 1$  et  $-\arctan \frac{2RY_1}{1 - R^2 Y_1 Y_2} - \pi$  pour  $R^2 Y_1 Y_2 > 1$

B)  $\varphi(\omega) = -\arctan \frac{2RY_1}{1 + R^2 Y_1 Y_2}$  pour  $R^2 Y_1 Y_2 \leq 1$  et  $-\arctan \frac{2RY_1}{1 + R^2 Y_1 Y_2} - \pi$  pour  $R^2 Y_1 Y_2 > 1$

C)  $\varphi(\omega) = -\arctan \frac{4RY_2}{1 + R^2 Y_1 Y_2}$  pour  $R^2 Y_1 Y_2 \leq 1$  et  $-\arctan \frac{4RY_2}{1 + R^2 Y_1 Y_2} - \pi$  pour  $R^2 Y_1 Y_2 > 1$

D)  $\varphi(\omega) = \arctan \frac{1 - R^2 Y_1 Y_2}{4RY_2}$  pour  $R^2 Y_1 Y_2 \leq 1$  et  $\arctan \frac{1 - R^2 Y_1 Y_2}{4RY_2} - \pi$  pour  $R^2 Y_1 Y_2 > 1$

3. — Exprimer le rapport  $\frac{C_2}{C_1}$  pour que  $G(\omega)$  puisse se mettre sous la forme :

$$G(\omega) = \frac{1}{\left(1 + \frac{\omega^4}{\omega_0^4}\right)^{\frac{1}{2}}}$$

A)  $\frac{C_2}{C_1} = 1/2$

B)  $\frac{C_2}{C_1} = 2$

C)  $\frac{C_2}{C_1} = 1$

D)  $\frac{C_2}{C_1} = 4$

4. — Exprimer  $\omega_0$  en fonction de  $R$  et  $C_1$ .

A)  $\omega_0 = \frac{1}{RC_1}$

B)  $\omega_0 = \frac{\sqrt{2}}{RC_1}$

C)  $\omega_0 = \frac{1}{RC_1 \sqrt{2}}$

D)  $\omega_0 = \frac{1}{2RC_1}$

5. — Calculer la pulsation de coupure  $\omega_c$  correspondant à une atténuation de trois décibels de la valeur maximale du signal de sortie. On donne :  $R = 10^3 \Omega$  et  $C_1 = 707 \text{ nF}$ .

A)  $\omega_c = 500 \text{ rad.s}^{-1}$

B)  $\omega_c = 1500 \text{ rad.s}^{-1}$

C)  $\omega_c = 1000 \text{ rad.s}^{-1}$

D)  $\omega_c = 750 \text{ rad.s}^{-1}$

6. — Calculer le déphasage  $\varphi_c$  pour  $\omega = \omega_c$ .

A)  $\varphi_c = -\pi \text{ rad}$

B)  $\varphi_c = -\frac{\pi}{4} \text{ rad}$

C)  $\varphi_c = 0$

D)  $\varphi_c = -\frac{\pi}{2} \text{ rad}$

7. — Exprimer, en décibels par décade, la pente de l'asymptote à la courbe  $G(\omega)$  qui correspond à  $\omega > \omega_c$ .

- A)  $-40$  dB par décade      B)  $-20$  dB par décade      C)  $-60$  dB par décade      D)  $-10$  dB par décade
- 

8. — Un miroir sphérique de sommet  $S$  et de centre  $C$  est plongé dans un milieu transparent d'indice  $n$ . Les distances algébriques sont comptées positivement dans le sens de la lumière incidente. Donner les positions respectives  $\overline{SF}_o$  et  $\overline{SF}_i$  des foyers objet  $F_o$  et image  $F_i$  par rapport à  $S$ .

- A)  $\overline{SF}_o = \frac{\overline{SC}}{2n}$  et  $\overline{SF}_i = \frac{\overline{SC}}{2n}$       B)  $\overline{SF}_o = \frac{\overline{SC}}{2}$  et  $\overline{SF}_i = \frac{\overline{SC}}{2}$   
 C)  $\overline{SF}_o = n\frac{\overline{SC}}{2}$  et  $\overline{SF}_i = n\frac{\overline{SC}}{2}$       D)  $\overline{SF}_o = \frac{\overline{SC}}{2}$  et  $\overline{SF}_i = -\frac{\overline{SC}}{2}$

9. — Un objet réel  $\overline{A_oB_o}$  est disposé dans un plan de front à une distance  $\overline{SA_o} = -5$  m du sommet d'un miroir plongé dans l'air ( $n = 1$ ). Quelle doit être la distance focale  $f$  de ce miroir pour que l'image qu'il donne de cet objet soit droite (de même sens que l'objet) et réduite d'un facteur 3 ?

- A)  $f = 3$  m      B)  $f = -1$  m      C)  $f = -3$  m      D)  $f = 2,5$  m

10. — Quelle est la position  $\overline{SA}_i$  de l'image par rapport à  $S$  ?

- A)  $\overline{SA}_i = \frac{3}{5}$  m      B)  $\overline{SA}_i = -15$  m      C)  $\overline{SA}_i = \frac{5}{3}$  m      D)  $\overline{SA}_i = -5$  m

11. — Quelle est la nature de ce miroir ?

- A) Divergent et convexe      B) Convergent et convexe  
 C) Divergent et concave      D) Convergent et concave

12. — Quelle doit être la position  $\overline{SA}_{o1}$  de l'objet par rapport à  $S$  pour que l'image qu'en donne le miroir soit renversée et de même dimension que l'objet ?

- A)  $\overline{SA}_{o1} = 2\overline{SC}$       B)  $\overline{SA}_{o1} = -\overline{SF}$       C)  $\overline{SA}_{o1} = 0$       D)  $\overline{SA}_{o1} = \overline{SC}$

13. — Quelle est la position  $\overline{SA}_{i1}$  de l'image correspondante par rapport à  $S$  ?

- A)  $\overline{SA}_{i1} = \overline{SC}$       B)  $\overline{SA}_{i1} = 2\overline{SC}$       C)  $\overline{SA}_{i1} = -\overline{SF}$       D)  $\overline{SA}_{i1} = 0$

14. — Quelles doivent être les positions respectives  $\overline{SA}_{o2}$  et  $\overline{SA}_{i2}$  de l'objet et de l'image par rapport à  $S$  pour que l'image soit de même sens et de même dimension que l'objet ?

- A)  $\overline{SA}_{o2} = \overline{SC}$  et  $\overline{SA}_{i2} = -\overline{SC}$       B)  $\overline{SA}_{o2} = 0$  et  $\overline{SA}_{i2} = 0$   
 C)  $\overline{SA}_{o2} = \overline{SC}$  et  $\overline{SA}_{i2} = \overline{SC}$       D)  $\overline{SA}_{o2} = 2\overline{SC}$  et  $\overline{SA}_{i2} = -2\overline{SC}$
- 

15. — Un tube cylindrique creux de rayon intérieur  $R_i$  et de rayon extérieur  $R_e$  est constitué d'un matériau de conductivité thermique  $\lambda = 0,9$  S.I. supposée indépendante de la température du matériau.

Dans le système d'unités international (S.I.), la conductivité thermique  $\lambda$  s'exprime, en :

- A)  $J.K^{-1}.m^{-1}.s^{-1}$       B)  $J.K.m^{-2}$       C)  $J.K.m^{-1}.s^{-1}$       D)  $J.K.m^{-1}$

16. — Les surfaces cylindriques intérieure et extérieure du tube sont respectivement aux températures  $T_i$  et  $T_e < T_i$ . Le tube est le siège d'un transport d'énergie interne (ou thermique) caractérisé par le vecteur  $\vec{j}_{th}(r) = j_{th}(r)\vec{e}_r$  où  $\vec{e}_r$  est un vecteur unitaire radial en un point  $P$  quelconque du matériau situé à une distance  $R_i < r < R_e$  de l'axe du tube. Montrer qu'en régime permanent on peut écrire  $j_{th}(r) = \frac{A}{r}$  sachant qu'il n'existe aucun phénomène physique dans le matériau qui puisse donner lieu à une production d'énergie interne. Exprimer  $A$ .

$$A) A = \lambda \frac{(T_i - T_e)}{\ln \left( \frac{R_e}{R_i} \right)}$$

$$B) A = \lambda \frac{\ln \left( \frac{R_e}{R_i} \right)}{(T_i - T_e)}$$

$$C) A = \frac{(T_i - T_e)}{\lambda \ln \left( \frac{R_e}{R_i} \right)}$$

$$D) A = \frac{(T_i - T_e)}{\lambda \ln \left( \frac{R_e - R_i}{R_i} \right)}$$

17. — Exprimer la loi d'évolution  $T(r)$  de la température dans le matériau en fonction de la distance  $r$  à l'axe du tube.

$$A) T(r) = T_i + \frac{A}{\lambda} \ln \left( \frac{r}{R_e} \right)$$

$$B) T(r) = T_i - \frac{A}{\lambda} \ln \left( \frac{r}{R_i} \right)$$

$$C) T(r) = T_i - \frac{A}{\lambda} \ln \left( \frac{R_e + r}{R_e + R_i} \right)$$

$$D) T(r) = T_i + \frac{A}{\lambda} \ln \left( \frac{R_i + r}{R_e + R_i} \right)$$

18. — Exprimer la puissance thermique  $\mathcal{P}_{th}$  échangée avec le milieu extérieur au niveau de la surface cylindrique extérieure par une longueur  $\ell$  de matériau.

$$A) \mathcal{P}_{th} = 2\pi \frac{\ell}{R_e} A$$

$$B) \mathcal{P}_{th} = 2\pi \frac{\ell}{R_i} A$$

$$C) \mathcal{P}_{th} = 2\pi \ell A$$

$$D) \mathcal{P}_{th} = 2\pi \frac{\ell}{R_e - R_i} A$$

19. — La résistance thermique  $R_{th}$  d'une longueur  $\ell$  de matériau est définie par la relation  $R_{th} = \frac{T_i - T_e}{\mathcal{P}_{th}}$ . Exprimer  $R_{th}$ .

$$A) R_{th} = \frac{2\pi}{\lambda \ell} \ln \left( \frac{R_e + R_i}{R_i} \right)$$

$$B) R_{th} = \frac{2\pi}{\lambda \ell} \ln \left( \frac{R_e + R_i}{R_e} \right)$$

$$C) R_{th} = \frac{1}{\lambda \ell} \ln \left( \frac{R_e}{R_i + R_e} \right)$$

$$D) R_{th} = \frac{1}{2\pi \lambda \ell} \ln \left( \frac{R_e}{R_i} \right)$$

20. — Le matériau considéré précédemment constitue la gaine d'un conducteur ohmique cylindrique de rayon  $R_i$  et de résistivité  $\rho$ . Ce conducteur est parcouru par un courant continu d'intensité  $I$ . Exprimer la puissance thermique  $\mathcal{P}_{th}$  calculée précédemment en fonction de  $I$ . On rappelle que la résistance  $R$  d'un conducteur cylindrique de longueur  $\ell$ , de section droite  $S$  et de résistivité  $\rho$  s'écrit :  $R = \rho \frac{\ell}{S}$ .

$$A) \mathcal{P}_{th} = \frac{\pi R_i^2}{\rho \ell} I^2$$

$$B) \mathcal{P}_{th} = \frac{\rho \ell}{\pi R_i^2} I^2$$

$$C) \mathcal{P}_{th} = \frac{2\pi \rho \ell}{R_i^2} I^2$$

$$D) \mathcal{P}_{th} = \frac{\ell}{\pi \rho R_i^2} I^2$$

21. — En déduire la température  $T_i$  à la jonction gaine conducteur.

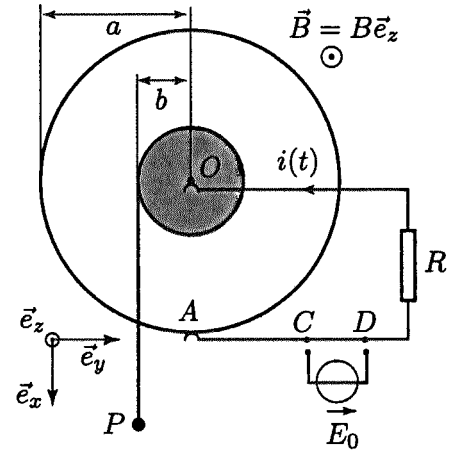
$$A) T_i = T_e + \frac{\ln \frac{R_e + R_i}{R_e}}{\pi \lambda R_i^2} \rho I^2$$

$$B) T_i = T_e + \frac{\ln \frac{R_e + R_i}{R_i}}{4\pi R_e^2} \lambda \rho I^2$$

$$C) T_i = T_e + \frac{\ln \frac{R_e}{R_i}}{2\pi^2 \lambda R_i^2} \rho I^2$$

$$D) T_i = T_e + \frac{\ln \frac{R_e + R_i}{R_e}}{4\pi^2 \lambda R_i R_e} \rho I^2$$

22. — Un roue métallique homogène de rayon  $a$  peut tourner sans frottement autour d'un axe horizontal  $Oz$ . On note  $\vec{\omega}(t) = \omega(t)\vec{e}_z$  son vecteur rotation instantané. Un fil sans masse est enroulé sur une poulie de rayon  $b$ , de même axe que la roue et solidaire de celle-ci. On désigne par  $I_{Oz}$  le moment d'inertie par rapport à l'axe  $Oz$  de l'ensemble roue-poulie et par  $\vec{g} = g\vec{e}_x$  le champ d'accélération de la pesanteur. A l'extrémité libre  $P$  du fil on suspend un point matériel de masse  $m$ . Exprimer le moment cinétique  $L_{Oz}$  par rapport à l'axe de rotation de l'ensemble roue, poulie et point matériel en l'absence de glissement du fil dans la gorge de la poulie (cf. figure ci-contre).



A)  $L_{Oz} = (I_{Oz} + ma^2)\omega$

B)  $L_{Oz} = I_{Oz}\omega$

C)  $L_{Oz} = (I_{Oz} + mb^2)\omega$

D)  $L_{Oz} = (I_{Oz} + ma^2 + mb^2)\omega$

23. — Un circuit électrique constitué d'un résistor de résistance  $R$  est connecté à la roue grâce à deux contacts ponctuels glissants, l'un sur l'axe de rotation en  $O$  et l'autre sur un point  $A$  de la périphérie de la roue. Dans un premier temps, les bornes  $C$  et  $D$  sont court-circuitées (cf. figure ci-contre). L'ensemble est placé dans un champ magnétique uniforme et constant dans le temps  $\vec{B} = B\vec{e}_z$ .

On désigne par  $i(t)$  la valeur du courant qui circule dans le circuit à l'instant  $t$  dans le sens indiqué sur la figure ci-contre. Exprimer  $i(t)$  en fonction de  $\omega$  et des caractéristiques du système sachant que les résistances électriques de la roue et des fils sont négligeables devant celle  $R$  du résistor.

A)  $i(t) = -\frac{Bb^2}{R}\omega$

B)  $i(t) = \frac{B(a^2 + b^2)}{2R}\omega$

C)  $i(t) = -\frac{Ba^2}{R}\omega$

D)  $i(t) = \frac{Ba^2}{2R}\omega$

24. — Calculer le moment résultant  $\mathcal{M}_{Oz}$  des forces de Laplace par rapport à l'axe de rotation de la roue en fonction du courant  $i$  et des paramètres du système.

A)  $\mathcal{M}_{Oz} = -\frac{Bb^2}{2}i$

B)  $\mathcal{M}_{Oz} = -\frac{Ba^2}{2}i$

C)  $\mathcal{M}_{Oz} = \frac{B(a^2 + b^2)}{4}i$

D)  $\mathcal{M}_{Oz} = -\frac{B^2a^4}{2}i$

25. — L'équation différentielle à laquelle obéit la vitesse angulaire  $\omega(t)$  peut se mettre sous la forme :

$$\frac{d\omega}{dt} + \alpha\omega + \beta = 0$$

Exprimer  $\alpha$ .

A)  $\alpha = \frac{B^2a^4}{4R(I_{Oz} + mb^2)}$

B)  $\alpha = \frac{B^2a^4}{2RI_{Oz}}$

C)  $\alpha = \frac{B^2b^4}{4R(I_{Oz} + ma^2)}$

D)  $\alpha = \frac{B^2b^4}{4R(I_{Oz} + ma^2 + mb^2)}$

26. — Exprimer  $\beta$ .

A)  $\beta = -\frac{mga}{I_{Oz} + ma^2}$

B)  $\beta = -\frac{mga}{I_{Oz} + m(a^2 + b^2)}$

C)  $\beta = -\frac{mgb}{I_{Oz}}$

D)  $\beta = -\frac{mgb}{I_{Oz} + mb^2}$



27. — Le court-circuit est maintenant remplacé par une source de tension parfaite de force électromotrice  $E_0$  connectée entre les bornes  $C$  et  $D$  suivant le schéma de la figure ci-contre.

Exprimer la vitesse de rotation instantanée  $\omega_0$  de la roue quand le régime permanent est atteint.

A)  $\omega_0 = 4 \frac{mgRa}{B^2 b^4} - \frac{E_0}{Ba^2}$

B)  $\omega_0 = 2 \frac{mgRb}{B^2 a^4} - 2 \frac{E_0}{B(a^2 + b^2)}$

C)  $\omega_0 = 4 \frac{mgRb}{B^2 a^4} - 2 \frac{E_0}{Ba^2}$

D)  $\omega_0 = 2 \frac{mgRa}{B^2 b^4} - \frac{E_0}{B(a^2 + b^2)}$

28. — Pour que la roue puisse tourner dans le sens des aiguilles d'une montre, il faut que  $E_0 > E_{0min}$ . Exprimer  $E_{0min}$

A)  $E_{0min} = \frac{2mgRb}{Ba^2}$

B)  $E_{0min} = \frac{mgRb}{B(a^2 + b^2)}$

C)  $E_{0min} = \frac{mgRa}{Bb^2}$

D)  $E_{0min} = \frac{mgR(a + b)}{Ba^2}$

29. — Un condensateur est constitué de deux électrodes cylindriques coaxiales d'axe  $Oz$ . L'armature interne  $C_1$  de rayon  $R_1$  est portée à un potentiel  $V_1$  tandis que l'armature externe  $C_2$  de rayon intérieur  $R_2$  est reliée à la terre (potentiel zéro). Le champ électrique  $\vec{E}$  en un point  $P$  de l'espace interarmatures repéré par ses coordonnées cylindriques  $r, \theta, z$  s'écrit :

$$\vec{E} = V_0 \frac{\vec{r}}{r^2}$$

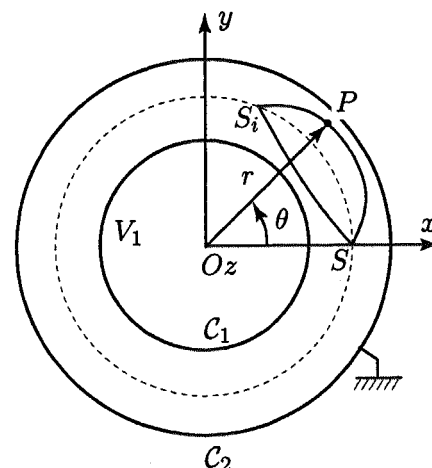
où  $\vec{r} = \vec{OP}$ . Exprimer  $V_0$ .

A)  $V_0 = \frac{R_1}{R_2 - R_1} V_1$

B)  $V_0 = \frac{R_2}{R_2 - R_1} V_1$

C)  $V_0 = \frac{V_1}{\ln\left(1 + \frac{R_2}{R_1}\right)}$

D)  $V_0 = \frac{V_1}{\ln \frac{R_2}{R_1}}$



30. — Une source d'électrons ponctuelle  $S$ , située sur l'axe  $Ox$  à une distance  $OS = r_0$  de l'axe du condensateur émet à l'instant  $t = 0$  un électron de charge  $-e$  et de vitesse initiale  $\vec{v}_0$  contenu dans le plan  $xOy$  (cf. figure ci-contre). On étudie dans le système de coordonnées polaires  $(r, \theta)$ , de base orthonormée associée  $\vec{e}_r, \vec{e}_\theta$ , la trajectoire contenue dans le plan  $xOy$ . On néglige le poids de l'électron devant la force électrique à laquelle il est soumis.

Ecrire l'équation différentielle correspondant à la projection du mouvement de l'électron suivant la direction du vecteur  $\vec{e}_r$ .

A)  $\frac{d^2 r}{dt^2} - r \left( \frac{d\theta}{dt} \right)^2 = -e \frac{V_0}{mr}$

B)  $\frac{d^2 r}{dt^2} - r^2 \frac{d\theta}{dt} = -e \frac{V_0}{mr}$

C)  $\frac{d}{dt} \left( r^2 \frac{d\theta}{dt} \right) = -e \frac{V_0}{mr}$

D)  $\frac{d}{dt} \left[ r \left( \frac{d\theta}{dt} \right)^2 \right] = -e \frac{V_0}{mr}$

31. — Ecrire l'équation différentielle correspondant à la projection du mouvement de l'électron suivant la direction du vecteur  $\vec{e}_\theta$ .

A)  $\frac{d^2 r}{dt^2} - r \left( \frac{d\theta}{dt} \right)^2 = 0$

B)  $r^2 \frac{d\theta}{dt} = 0$

$$C) \frac{d}{dt} \left[ r \left( \frac{d\theta}{dt} \right)^2 \right] = 0$$

$$D) \frac{d}{dt} \left( r^2 \frac{d\theta}{dt} \right) = 0$$

32. — Quelle doit-être la valeur  $\vec{v}_0$  de la vitesse initiale de l'électron en  $S$  pour que sa trajectoire soit un cercle de rayon  $r_0$  ?

$$A) \vec{v}_0 = \sqrt{\frac{eV_0}{2m}} \vec{e}_y$$

$$B) \vec{v}_0 = \sqrt{\frac{eV_0}{m}} \vec{e}_y$$

$$C) \vec{v}_0 = \sqrt{\frac{2eV_0}{m}} \vec{e}_y$$

$$D) \vec{v}_0 = \frac{eV_0}{m} \vec{e}_y$$

33. — On pose  $\delta = r - r_0$  avec  $\delta \ll r_0$  et on désigne par  $\omega_0$  la vitesse angulaire des électrons sur la trajectoire circulaire de rayon  $r_0$ .

Exprimer, en se limitant au premier ordre par rapport à  $\frac{\delta}{r_0}$ , la vitesse angulaire  $\frac{d\theta}{dt}$  des électrons, sur une trajectoire quelconque, très voisine de la trajectoire circulaire de rayon  $r_0$ .

$$A) \frac{d\theta}{dt} = \omega_0 \left( 1 - \frac{\delta}{2r_0} \right)$$

$$B) \frac{d\theta}{dt} = \omega_0 \left( 1 + \frac{\delta}{2r_0} \right)$$

$$C) \frac{d\theta}{dt} = \omega_0 \left( 1 - 2\frac{\delta}{r_0} \right)$$

$$D) \frac{d\theta}{dt} = \frac{\omega_0 \delta}{r_0}$$

34. — Ecrire l'équation différentielle à laquelle obéit  $\delta$ .

$$A) \frac{d^2\delta}{dt^2} - \frac{\omega_0^2}{2}\delta = 0$$

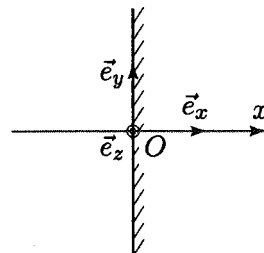
$$B) \frac{d^2\delta}{dt^2} - \omega_0^2\delta = 0$$

$$C) \frac{d^2\delta}{dt^2} + \omega_0^2\delta = 0$$

$$D) \frac{d^2\delta}{dt^2} + 2\omega_0^2\delta = 0$$

35. — Une onde progressive plane, monochromatique, de pulsation  $\omega$  et de vecteur d'onde  $\vec{k}$ , polarisée elliptiquement, se propage dans le vide dans le demi espace  $x < 0$ . Elle aborde sous incidence normale, un milieu parfaitement conducteur occupant le demi espace  $x \geq 0$ . Dans la base orthonormée directe  $\mathcal{B}(\vec{e}_x, \vec{e}_y, \vec{e}_z)$  d'un repère  $Oxyz$  définie sur la figure ci-contre, les composantes du champ électrique  $\vec{E}_i$  de l'onde incidente s'écrivent :

$$\vec{E}_i \Big|_{\mathcal{B}} \begin{cases} 0 \\ E_{0y} \cos(kx - \omega t) \\ E_{0z} \cos(kx - \omega t + \varphi) \end{cases}$$



où  $\varphi$  représente le déphasage de la composante du champ électrique suivant  $\vec{e}_z$  par rapport à sa composante suivant  $\vec{e}_y$ . On désigne par  $c$  la vitesse de propagation des ondes électromagnétiques dans le vide et par  $\epsilon_0$  et  $\mu_0$  la permittivité et la perméabilité du vide respectivement.

Exprimer les composantes du champ électrique réfléchi  $\vec{E}_r$  dans la base  $\mathcal{B}$ .

$$A) \vec{E}_r \Big|_{\mathcal{B}} \begin{cases} 0 \\ E_{0y} \cos(kx - \omega t) \\ E_{0z} \cos(kx - \omega t + \varphi) \end{cases}$$

$$B) \vec{E}_r \Big|_{\mathcal{B}} \begin{cases} 0 \\ -E_{0y} \cos(-kx - \omega t) \\ -E_{0z} \cos(-kx - \omega t + \varphi) \end{cases}$$

$$\text{C) } \vec{E}_r \Big|_{\mathcal{B}} \begin{array}{l} 0 \\ -E_{0y} \cos(-kx - \omega t + \varphi) \\ E_{0z} \cos(-kx - \omega t) \end{array}$$

$$\text{D) } \vec{E}_r \Big|_{\mathcal{B}} \begin{array}{l} 0 \\ -E_{0y} \cos(kx - \omega t - \varphi) \\ -E_{0z} \cos(kx - \omega t + \varphi) \end{array}$$

36. — Exprimer les composantes du champ magnétique  $\vec{B}_i$  de l'onde incidente dans la base  $\mathcal{B}$ .

$$\text{A) } \vec{B}_i \Big|_{\mathcal{B}} \begin{array}{l} 0 \\ \frac{E_{0z}}{c} \cos(kx - \omega t) \\ -\frac{E_{0y}}{c} \cos(kx - \omega t - \varphi) \end{array}$$

$$\text{B) } \vec{B}_i \Big|_{\mathcal{B}} \begin{array}{l} 0 \\ \frac{E_{0y}}{c} \cos(kx - \omega t) \\ -\frac{E_{0z}}{c} \cos(kx - \omega t + \varphi) \end{array}$$

$$\text{C) } \vec{B}_i \Big|_{\mathcal{B}} \begin{array}{l} 0 \\ -\frac{E_{0y}}{c} \cos(kx - \omega t + \varphi) \\ -\frac{E_{0z}}{c} \cos(kx - \omega t) \end{array}$$

$$\text{D) } \vec{B}_i \Big|_{\mathcal{B}} \begin{array}{l} 0 \\ -\frac{E_{0z}}{c} \cos(kx - \omega t + \varphi) \\ \frac{E_{0y}}{c} \cos(kx - \omega t) \end{array}$$

37. — Exprimer les composantes du champ magnétique  $\vec{B}_r$  de l'onde réfléchie dans la base  $\mathcal{B}$ .

$$\text{A) } \vec{B}_r \Big|_{\mathcal{B}} \begin{array}{l} 0 \\ -\frac{E_{0z}}{c} \cos(-kx - \omega t) \\ \frac{E_{0y}}{c} \cos(-kx - \omega t + \varphi) \end{array}$$

$$\text{B) } \vec{B}_r \Big|_{\mathcal{B}} \begin{array}{l} 0 \\ \frac{E_{0y}}{c} \cos(-kx - \omega t) \\ -\frac{E_{0z}}{c} \cos(-kx - \omega t + \varphi) \end{array}$$

$$\text{C) } \vec{B}_r \Big|_{\mathcal{B}} \begin{array}{l} 0 \\ \frac{E_{0z}}{c} \cos(-kx - \omega t + \varphi) \\ -\frac{E_{0y}}{c} \cos(-kx - \omega t) \end{array}$$

$$\text{D) } \vec{B}_r \Big|_{\mathcal{B}} \begin{array}{l} 0 \\ -\frac{E_{0y}}{c} \cos(-kx - \omega t + \varphi) \\ -\frac{E_{0z}}{c} \cos(-kx - \omega t) \end{array}$$

38. — Calculer les composantes dans la base  $\mathcal{B}$  du champ magnétique total  $\vec{B}$  qui résulte de la superposition des champs magnétiques incident et réfléchi.

$$\text{A) } \vec{B} \Big|_{\mathcal{B}} \begin{array}{l} 0 \\ \frac{2E_{0z}}{c} \sin(\varphi - \omega t) \sin(kx) \\ \frac{2E_{0y}}{c} \sin(\omega t) \sin(kx) \end{array}$$

$$\text{B) } \vec{B} \Big|_{\mathcal{B}} \begin{array}{l} 0 \\ \frac{2E_{0z}}{c} \cos(\varphi - \omega t) \sin(kx) \\ \frac{2E_{0y}}{c} \cos(\omega t) \cos(kx) \end{array}$$

$$\text{C) } \vec{B} \Big|_{\mathcal{B}} \begin{array}{l} 0 \\ \frac{E_{0z}}{c} \sin(\omega t) \cos(kx + \varphi) \\ \frac{E_{0y}}{c} \cos(\omega t) \sin(kx) \end{array}$$

$$\text{D) } \vec{B} \Big|_{\mathcal{B}} \begin{array}{l} 0 \\ \frac{E_{0z}}{c} \sin(\omega t) \cos(kx) \\ \frac{E_{0y}}{c} \cos(\omega t - \varphi) \cos(kx) \end{array}$$

39. — Calculer la charge surfacique  $\sigma$  qui apparaît sur le conducteur.

$$\text{A) } \sigma = \frac{B_0}{\mu_0 c} \cos(kx - \omega t)$$

$$\text{B) } \sigma = \frac{2B_0}{\mu_0 c} \cos(-kx - \omega t)$$

$$\text{C) } \sigma = \frac{2B_0}{\mu_0 c} \cos(\omega t)$$

$$\text{D) } \sigma = 0$$

40. — Calculer les composantes dans la base  $\mathcal{B}$  du courant surfacique  $\vec{j}_s$  qui apparaît à la surface du conducteur.

$$\text{A) } \vec{j}_s \Big|_{\mathcal{B}} \begin{array}{l} 0 \\ \frac{2E_{0y}}{\mu_0 c} \sin(kx) \sin(\omega t) \\ -\frac{2E_{0z}}{\mu_0 c} \sin(kx) \sin(\varphi - \omega t) \end{array}$$

$$\text{B) } \vec{j}_s \Big|_{\mathcal{B}} \begin{array}{l} 0 \\ -\frac{2E_{0y}}{\mu_0 c} \cos(kx) \sin(\omega t) \\ -\frac{2E_{0z}}{\mu_0 c} \sin(kx) \cos(\varphi - \omega t) \end{array}$$

$$\text{C) } \vec{j}_s \Big|_{\mathcal{B}} \begin{array}{l} 0 \\ \frac{E_{0z}}{\mu_0 c} \sin(kx) \cos(\omega t) \\ \frac{E_{0y}}{\mu_0 c} \sin(kx) \cos(\varphi + \omega t) \end{array}$$

$$\text{D) } \vec{j}_s \Big|_{\mathcal{B}} \begin{array}{l} 0 \\ -\frac{E_{0z}}{\mu_0 c} \sin(kx) \sin(\varphi - \omega t) \\ \frac{E_{0y}}{\mu_0 c} \cos(kx) \sin(\omega t) \end{array}$$